

(docente: Prof. Ing. Stefano Bennati)

Sintesi della soluzione della prova scritta in itinere del 12 aprile 2014

**Problema.** Il sistema rappresentato in Fig. 1 presenta una ripetizione infinita dello stesso modulo. Le travi verticali sono *flessibili ed inestensibili*, mentre quelle orizzontali sono *rigide*. Gli incastrati superiori subiscono tutti lo stesso cedimento verso destra di intensità  $\delta$ .

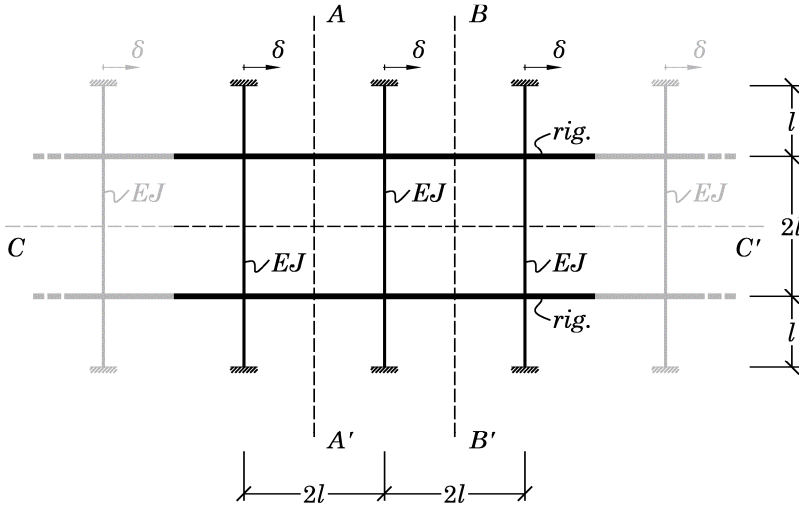


Fig. 1

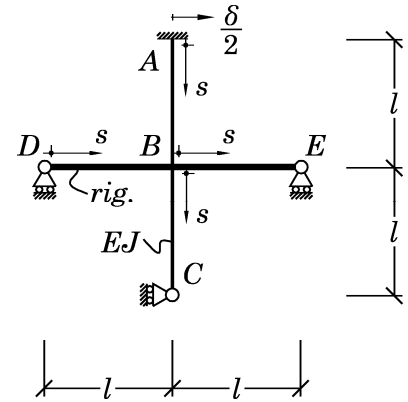


Fig. 2

1) Osserviamo subito che la struttura presenta infiniti assi di simmetria verticali, ciascuno disposto in corrispondenza di una trave verticale o della mezzeria tra una coppia contigua di travi verticali (di questi assi in figura sono indicati per semplicità due,  $AA'$  e  $BB'$ ). La struttura presenta inoltre l'asse di simmetria orizzontale  $CC'$ . Inoltre, il sistema può essere facilmente decomposto nella somma di un sistema simmetrico rispetto all'asse  $CC'$  e di uno antisimmetrico sia rispetto a questo asse, sia rispetto agli assi verticali  $AA'$  e  $BB'$ ). Il primo sistema risulta scarico, mentre il secondo consente di ridurre lo studio a quello del modulo rappresentato in Fig. 2.

2) Le equazioni differenziali e le condizioni al bordo per i tratti  $AB$  (tratto 1) e  $BC$  (tratto 2) che consentono di risolvere il problema mediante il metodo della linea elastica sono le seguenti (Fig. 2):

$$\begin{aligned}
 EJv_1^{IV} &= 0; & EJv_2^{IV} &= 0; \\
 1. \quad v_1(0) &= -\frac{\delta}{2}; & 2. \quad v_1^I(0) &= 0; & 3. \quad v_1(l) &= v_2(0); & 4. \quad v_1^I(l) &= v_2^I(0); \\
 5. \quad v_1^I(l) &= 0; & 6. \quad -EJv_1^{III}(l) &= -EJv_2^{III}(0); & 7. \quad v_2(l) &= 0; & 8. \quad -EJv_2^{II}(l) &= 0.
 \end{aligned}$$

Integrando le equazioni differenziali e sostituendo le espressioni così ottenute nelle condizioni al bordo otteniamo un sistema algebrico, la cui soluzione consente di determinare le costanti di integrazioni. In definitiva, otteniamo le seguenti espressioni per  $v_1(s)$  e  $v_2(s)$ :

$$v_1(s) = -\delta \left[ \frac{1}{5} \left( \frac{s}{l} \right)^3 - \frac{3}{10} \left( \frac{s}{l} \right)^2 + \frac{1}{2} \right], \quad \text{e} \quad v_2(s) = -\frac{\delta}{5} \left[ \left( \frac{s}{l} \right)^3 - 3 \left( \frac{s}{l} \right)^2 + 2 \right].$$

3) Nel caso in cui anche la trave  $DE$  sia flessibile ed abbia la stessa rigidezza flessionale  $EJ$  delle altre, se facessimo ricorso al metodo della linea elastica per risolvere il problema, in corrispondenza del nodo  $B$  dovremmo scrivere le otto seguenti condizioni al bordo:

$$\begin{aligned}
 1. \quad v_1(l) &= v_2(0); & 2. \quad v_3(l) &= v_4(0); & 3. \quad v_2^I(0) &= v_1^I(l); \\
 4. \quad v_3^I(l) &= v_1^I(l); & 5. \quad v_4^I(0) &= v_1^I(l); & 6. \quad -EJ \left[ v_2^{II}(l) - v_2^{II}(0) + v_3^{II}(l) - v_4^{II}(0) \right] &= 0;
 \end{aligned}$$

$$7. -EJv_1'''(l) = -EJv_2'''(0); \quad 8. -EJv_3'''(l) = -EJv_4'''(0);$$

dove si è indicato il tratto  $AB$  come tratto 1,  $BC$  come tratto 2,  $DB$  come tratto 3 e  $BE$  come tratto 4.

4) Nonostante il sistema rappresentato in Fig. 2 sia tre volte staticamente non determinato, ulteriori considerazioni di anti-simmetria rispetto all'asse  $AC$  consentono di risolverlo mediante il metodo delle forze ricorrendo a due sole incognite iperstatiche. Infatti, si può scegliere come incognite iperstatiche la reazione orizzontale esercitata dall'appoggio in  $C$ ,  $X_1$ , e come incognita  $X_2$  la reazione verticale, opportunamente orientata, esercitata dagli appoggi in  $D$  ed  $E$ : le due reazioni verticali esercitate dagli appoggi in  $D$  ed  $E$ , devono, infatti, per l'antisimmetria rispetto all'asse  $AC$  essere uguali in modulo e di verso opposto. Per il principio di sovrapposizione degli effetti, il sistema effettivo può essere dunque decomposto come rappresentato in Fig. 5.

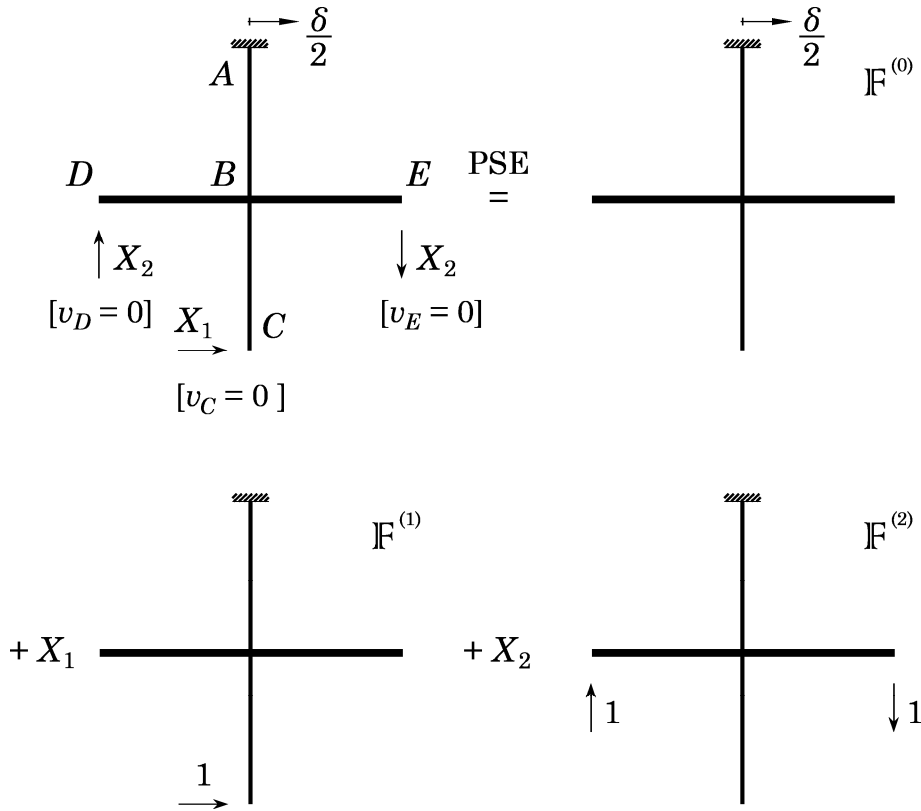


Fig. 5

Le reazioni vincolari e le sollecitazioni interne sono tutte nulle nel sottosistema  $F^{(0)}$ , che non è rappresentato. Semplici considerazioni di equilibrio consentono, invece, di determinare le reazioni esterne per i sistemi  $F^{(1)}$  e  $F^{(2)}$ , rappresentati, rispettivamente, nelle figure 6 e 7.

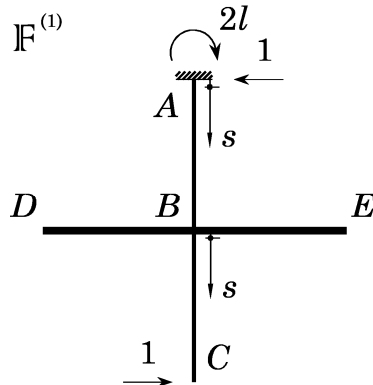


Fig. 6

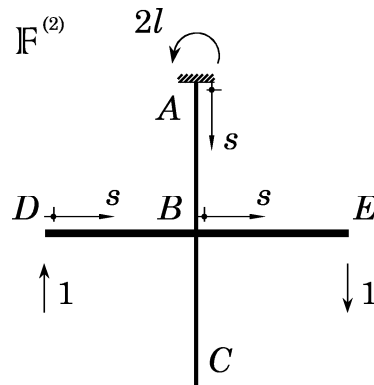


Fig. 7

Le CdS nei vari tratti e nei sistemi  $F^{(1)}$  e  $F^{(2)}$  sono raccolte nella tabella seguente, nella quale  $s \in (0, l)$ .

	$N_1$	$T_1$	$M_1$	$N_2$	$T_2$	$M_2$
$AB$	0	-1	$2l-s$	0	0	$s$
$BC$	0	-1	$l-s$	0	0	$-l+s$
$DB$	0	0	0	0	1	0
$BE$	0	0	0	0	1	$2l$

I diagrammi quotati delle CdS sono rappresentati nella Fig. 8.

Facili calcoli mostrano che i coefficienti delle due equazioni di Müller-Breslau sono i seguenti:

$$\eta_1 = 0; \quad \eta_{10} = \frac{\delta}{2}; \quad \eta_{11} = \frac{8}{3} \frac{l^3}{EJ}; \quad \eta_{12} = \eta_{21} = -3 \frac{l^3}{EJ};$$

$$\eta_2 = 0; \quad \eta_{20} = 0; \quad \eta_{22} = 4 \frac{l^3}{EJ}.$$

Conseguentemente,

$$X_1 = -\frac{6}{5} \frac{EJ}{l^3} \delta \quad \text{e} \quad X_2 = -\frac{9}{10} \frac{EJ}{l^3} \delta.$$

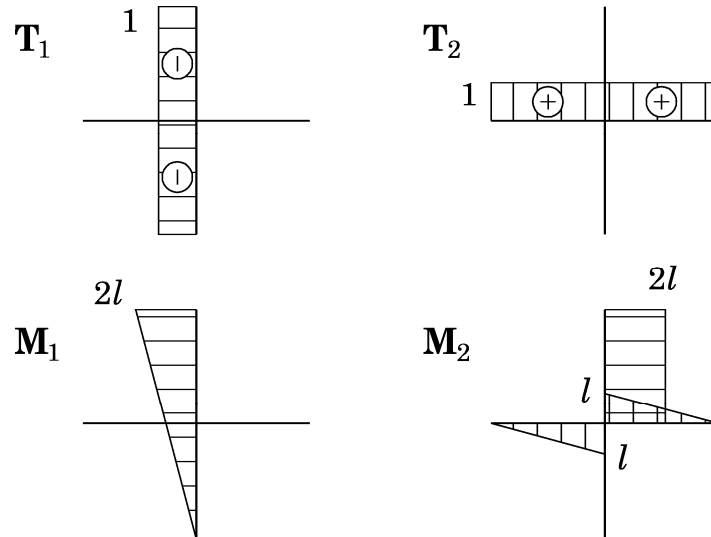


Fig. 8